

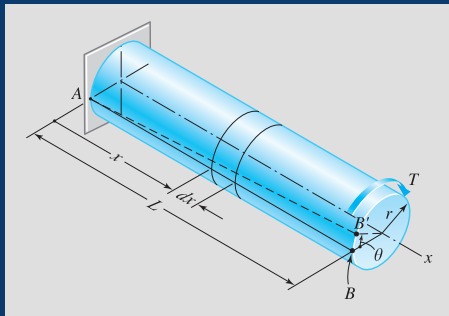


UdeSantiago  
de Chile

**C15153**  
**Resistencia de Materiales**  
**Torsión**

Roberto Ortega, PhD

Se analizarán los efectos que produce una carga de torsión sobre un elemento largo y recto como un eje o tubo de sección transversal circular.

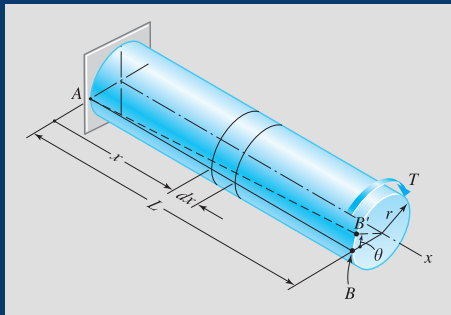


Consideremos un elemento macizo de sección circular empotrado en un extremo  $A$  sometido a un momento torsor  $T$  en el extremo libre  $B$ .

Tras aplicar la carga la línea recta  $AB$  se deforma en una hélice  $AB'$  y se produce un ángulo de rotación  $\theta$  en el extremo libre.

Las cargas de torsión actúan en planos perpendiculares al eje y los esfuerzos producidos no superan el límite de proporcionalidad.

Se analizarán los efectos que produce una carga de torsión sobre un elemento largo y recto como un eje o tubo de sección transversal circular.

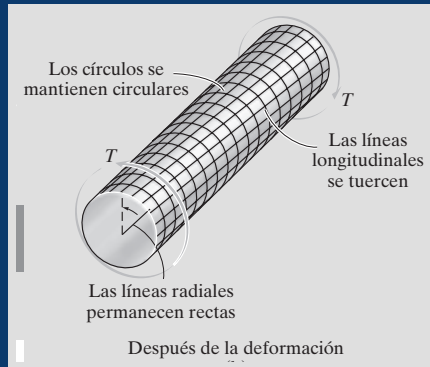
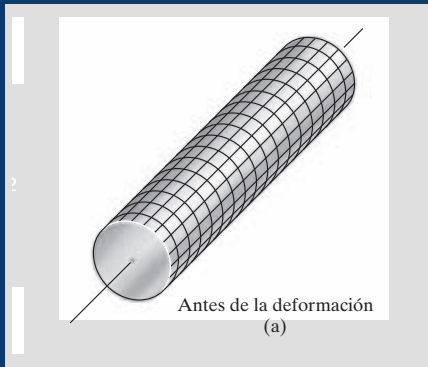


Durante la deformación:

- Las secciones circulares se mantienen circulares.
- Las secciones transversales a lo largo del eje permanecen planas.
- Las líneas radiales se conservan rectas durante la deformación.
- Si el ángulo de giro es pequeño, la longitud del eje y su radio se mantendrán sin cambio.

Las cargas de torsión actúan en planos perpendiculares al eje y los esfuerzos producidos no superan el límite de proporcionalidad.

Las siguientes figuras muestra esquemáticamente la situación del eje antes y después de la deformación.

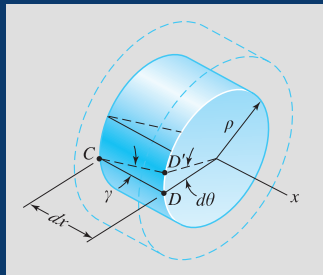


Para analizar la deformación al interior del eje consideremos una longitud infinitesimal  $dx$  del eje, como muestra la figura. Eliminemos también algunas capas y dejemos el cilindro de radio  $\rho$ .

Puesto que las secciones están separadas una distancia infinitesimal, la diferencia entre sus rotaciones  $d\theta$  es también infinitesimal.

Debido a la rotación  $d\theta$  que sufre la línea recta  $CD$ , el punto  $D$  se desplaza hasta una nueva posición  $D'$ .

Observando la distorsión del elemento con líneas segmentadas es fácil reconocer que el ángulo  $\gamma$  es la deformación por corte del elemento.



$$DD' = \rho d\theta = \gamma dx$$

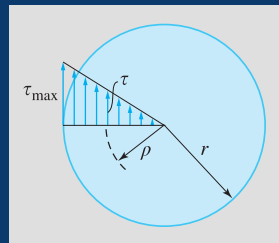
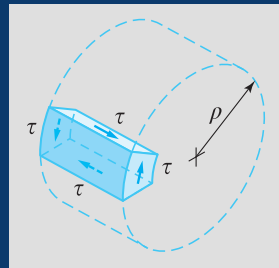
$$\gamma = \rho \frac{d\theta}{dx}$$

Aplicando la **Ley de Hooke** (relación lineal entre la tensión y la deformación) se obtiene el esfuerzo cortante:

$$\tau = G \gamma = G \frac{d\theta}{dx} \rho$$

Obsérvese que el término  $G \frac{d\theta}{dx}$  no depende de la distancia  $\rho$ , por tanto el esfuerzo de corte **varía linealmente** con la distancia radial  $\rho$  medida desde el eje longitudinal.

La variación del esfuerzo cortante que actúa en la sección transversal muestra que el esfuerzo máximo  $\tau_{max}$  se produce en la superficie externa del eje.



La fuerza de cortante actuando en el área está dada por:

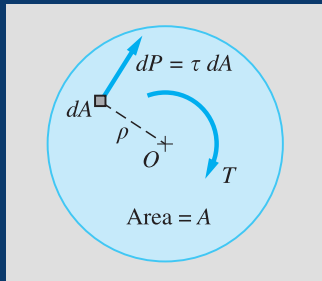
$$dP = \tau dA = G \frac{d\theta}{dx} \rho dA$$

y el momento alrededor del centro  $O$  se obtiene como:

$$\rho dP = G \frac{d\theta}{dx} \rho^2 dA$$

Sumando las contribuciones de todos los elementos diferenciales del área  $A$  se obtiene:

$$\int_A \rho dP = G \frac{d\theta}{dx} \int_A \rho^2 dA = T$$



Puesto que  $J = \int_A \rho^2 dA$  es el momento polar de inercia de la sección transversal, se puede escribir que

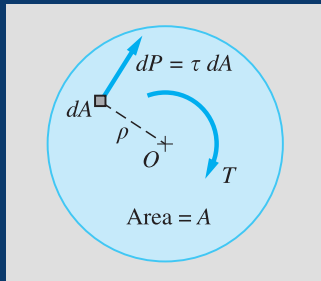
$$G \frac{d\theta}{dx} = \frac{T}{J} \Rightarrow \tau = \frac{T \rho}{J}$$

El ángulo  $\theta$  obtenido en el extremo libre del eje está dado entonces por:

$$\theta = \int_0^L d\theta = \int_0^L \frac{T}{JG} dx$$

Considerando que la sección transversal no varía a lo largo de la longitud (no depende de  $x$ ):

$$\theta = \frac{TL}{JG}$$

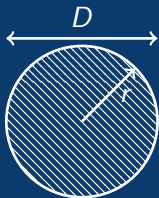




El cortante máximo se obtiene reemplazando  $\rho$  por el radio del eje:

$$\tau_{max} = \frac{T r}{J}$$

Sección maciza



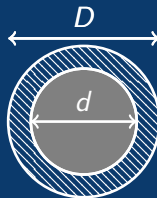
$$J = \frac{\pi r^4}{2}$$

$$J = \frac{\pi d^4}{32}$$

$$\tau_{max} = \frac{2T}{\pi r^3}$$

$$= \frac{16T}{\pi d^3}$$

Sección hueca



$$J = \frac{\pi(R^4 - r^4)}{2}$$

$$J = \frac{\pi(D^4 - d^4)}{32}$$

$$\tau_{max} = \frac{2TR}{\pi(R^4 - r^4)}$$

$$= \frac{16TD}{\pi(D^4 - d^4)}$$

La potencia  $\mathcal{P}$  transmitida por un par constante  $T$  que gira con velocidad angular constante  $\omega$  está dada por:

$$\mathcal{P} = \omega T$$

donde  $\omega$  se mide en radianes por unida de tiempo.

Si el eje gira a una frecuencia  $f$  (revoluciones por unidad de tiempo) y  $\omega = 2\pi f$ , se tiene:

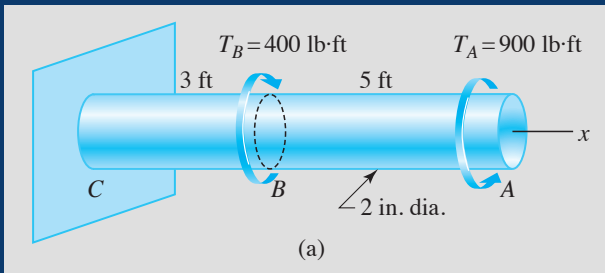
$$\mathcal{P} = 2\pi f T$$

El momento torsor transmitido puede expresarse como:

$$T = \frac{\mathcal{P}}{2\pi f}$$

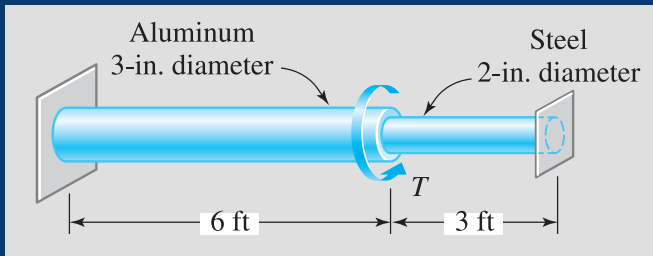
La figura muestra un eje circular macizo de 2 in de diámetro que se encuentra empotrado en el extremo  $C$  y está sujeto a las cargas  $T_A = 900 \text{ lb}\cdot\text{ft}$  y  $T_B = 400 \text{ lb}\cdot\text{ft}$

- 1 Determine el esfuerzo máximo de corte en los segmentos  $AB$  y  $BC$  del eje.
- 2 Calcule el ángulo de rotación en el extremo libre  $A$ . Use  $G = 12 \times 10^6 \text{ psi}$  para el acero.



La figura muestra un eje formado por dos segmentos con secciones circulares macizas de 2 in y 3 in de diámetro. El eje se encuentra empotrado en ambos extremos y está sometido a un torque  $T = 10 \text{ kip}\cdot\text{in}$ .

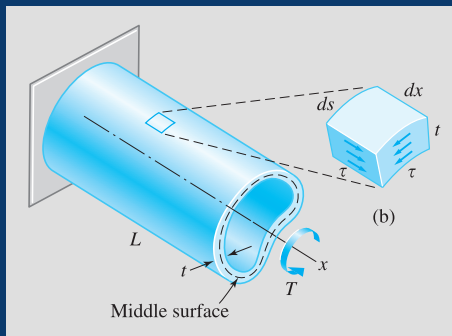
- 1 Determine el esfuerzo máximo de corte en cada segmento del eje. Use  $G = 12 \times 10^6 \text{ psi}$  para el acero y  $G = 4 \times 10^6 \text{ psi}$  para el aluminio.



# Torsión

## Tubos de pared delgada

Consideremos un tubo de pared delgada ( $\frac{R}{t} > 10$ ) sometido a un torque  $T$ , como muestra la figura. La sección es constante a lo largo del tubo pero el espesor  $t$  podría variar a largo de la sección.

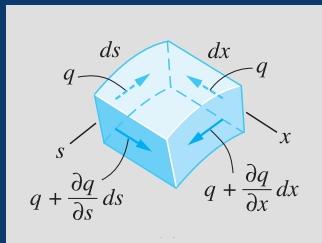


Si el espesor  $t$  es pequeño comparado con las dimensiones de la sección, el **esfuerzo cortante**  $\tau$  inducido por la torsión puede considerarse **constante** a través del espesor de la pared del tubo y tangente a la **superficie media**.

La superficie que se encuentra entre la superficie exterior e interior del tubo se denomina **superficie media**.

Podemos definir el **flujo de cortante**, como la fuerza de cortante por unidad de longitud como:

$$q = \tau t$$



Se puede demostrar que el flujo es constante a través del tubo. Supongamos que  $q$  varía en función de la dirección longitudinal  $x$  y la dirección circunferencial  $s$ . La fuerza actuando en cada cara estaría dada por:

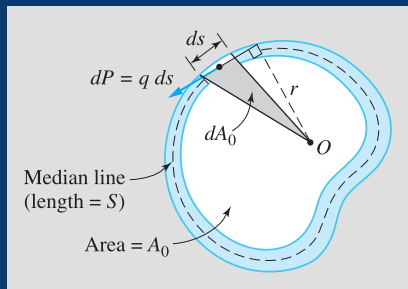
$$\left(q + \frac{\partial q}{\partial s} ds\right) dx - q dx = 0, \quad (1)$$

$$\left(q + \frac{\partial q}{\partial x} dx\right) ds - q ds = 0, \quad (2)$$

Los términos  $\partial q / \partial x dx$  y  $\partial q / \partial s ds$  representan los cambios sobre las distancias  $dx$  y  $ds$ .

lo que conduce a  $\partial q / \partial s = \partial q / \partial x = 0$ .

La fuerza de cortante actuando en una longitud infinitesimal  $ds$  de la superficie media es  $dP = q ds$ . El momento que produce esta fuerza alrededor del punto  $O$  es  $r dP = q ds r$ .



Por equilibrio, la suma de todos los momentos debe ser igual al torque aplicado

$$T = \int_S q r ds = q \int_S r ds$$

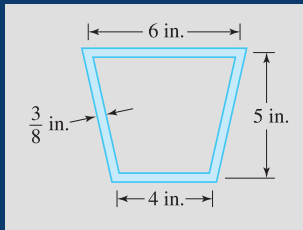
Puesto que  $\int_S r ds = 2A_0$ , donde  $A_0$  es el área encerrada por la línea media, se obtiene:

$$T = 2A_0 q \Rightarrow \tau = \frac{T}{2A_0 t}$$

De la figura podemos deducir que  $r ds = 2 dA_0$ , por tanto  $\int_S r ds = 2A_0$ .

Considere un tubo de sección transversal como se muestra en la figura y con espesor constante de  $t = \frac{3}{8}$  in.

- 1 Si el tubo está sometido a un torque  $T = 67,5$  klb·in, calcule el esfuerzo de corte máximo en la sección. Desprecie la concentración de esfuerzos en las esquinas.

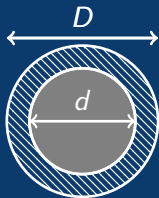




Considere un tubo hueco sometido a un torque  $T$ .

- Determine cuando las siguientes expresiones para calcular el esfuerzo cortante en la sección son equivalentes o similares. En otras palabras, cuando se puede considerar como tubo de pared delgada.

Sección hueca

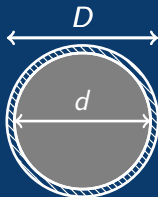


$$J = \frac{\pi(R^4 - r^4)}{2}$$

$$J = \frac{\pi(D^4 - d^4)}{32}$$




$$\tau = \frac{T \rho}{J}$$

Tubo de pared delgada



$$t = \frac{D - d}{2}$$

$$\tau = \frac{T}{2A_0 t}$$

-  A. Pytel y J. Kiusalaas, *Mechanics of Materials*. Second Edition, 2010.
-  A. Pytel y F.L.Singer, *Resistencia de Materiales*. Cuarta Edición, 2009.
-  R. C. Hibbeler, *Mecánica de Materiales*. Octava Edición, 2011.



UdeSantiago  
de Chile

**C15153**  
**Resistencia de Materiales**  
**Torsión**

Roberto Ortega, PhD